1 Метеорологические условия

1.1 Синоптический обзор

Кинематические карты, приведенные на рис. 1-1−1-2, отражают траектории циклонов (синий цвет) и антициклонов (красный цвет) в течение месяца. Положение центров приведено за срок 00 ВСВ каждых суток. За барическими объектами закреплен номер, по которому из ниже следующей таблицы можно определить координаты и давление в центре объектов в срок 00 ВСВ каждых суток.

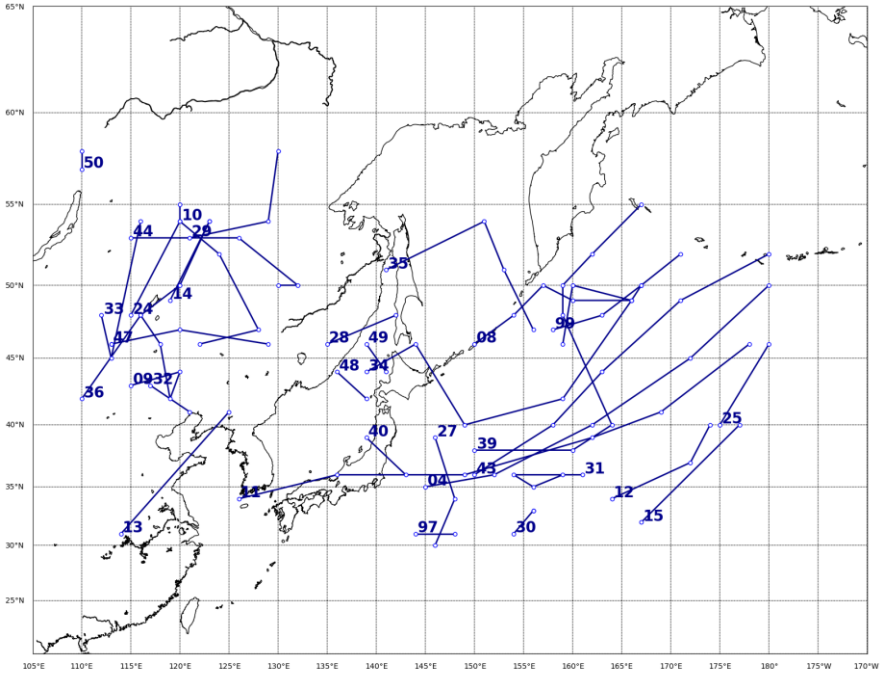


Рис. 1-1 Траектории движения циклонов в июле 2026 г.

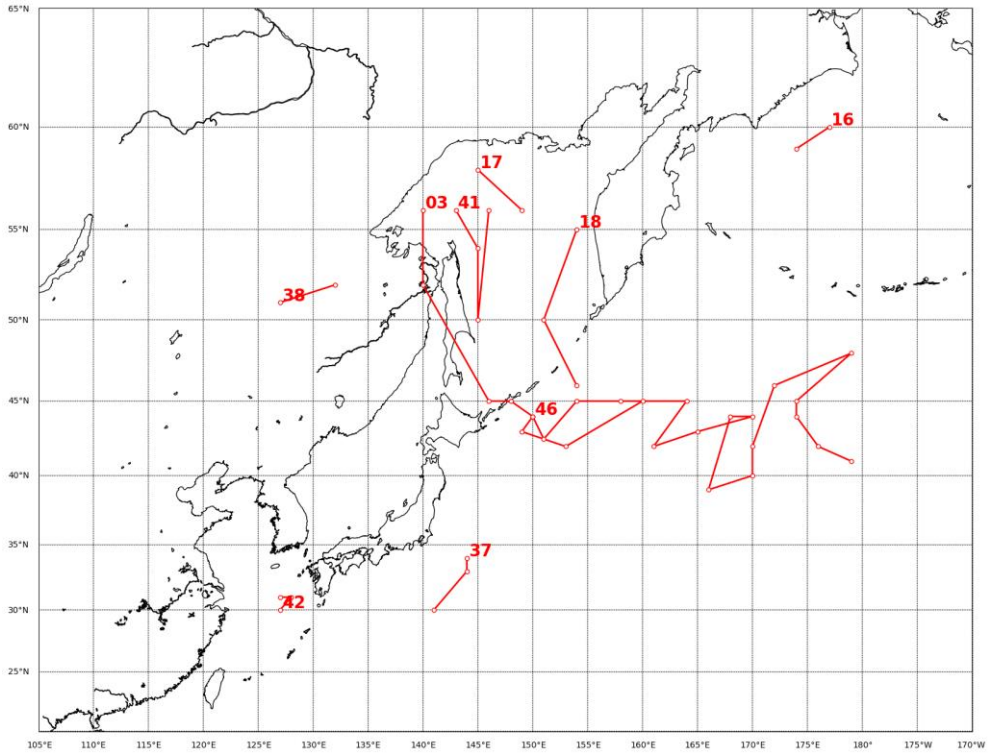


Рис. 1-2 Траектории движения антициклонов в июле 2026 г.

Координаты центров циклонов и антициклонов и давление в их центрах в июле (в срок 00 ВСВ)									
Циклоны					Антициклоны				
Номер	Дата	Широта	Долгота	Давление	Номер	Дата	Широта	Долгота	Давление
97	06.07.2026	31	144	1008	3	30.06.2026	56	140	1016
97	07.07.2026	31	148	1010	3	01.07.2026	52	140	1014
99	28.06.2026	47	158	992	3	02.07.2026	45	146	1014
99	29.06.2026	48	163	986	3	03.07.2026	45	148	1014
99	30.06.2026	50	167	988	3	04.07.2026	44	150	1014
99	01.07.2026	52	171	1000	3	05.07.2026	42	151	1020
4	01.07.2026	35	145	1010	3	06.07.2026	45	154	1022
4	02.07.2026	36	152	1010	3	07.07.2026	45	158	1022
4	03.07.2026	40	162	1008	3	08.07.2026	45	164	1024
4	04.07.2026	45	172	1004	3	09.07.2026	42	161	1020
4	05.07.2026	50	180	1006	3	10.07.2026	43	165	1020
8	01.07.2026	46	150	1010	3	11.07.2026	44	170	1022
8	02.07.2026	48	154	1010	3	12.07.2026	44	168	1022
8	03.07.2026	50	157	1010	3	13.07.2026	39	166	1020
8	04.07.2026	49	160	1008	3	14.07.2026	40	170	1024
8	05.07.2026	49	166	1008	3	15.07.2026	42	170	1026
8	06.07.2026	50	167	1010	3	16.07.2026	46	172	1026
9	04.07.2026	43	115	998	3	17.07.2026	48	179	1030
9	05.07.2026	44	120	996	3	18.07.2026	45	174	1028
9	06.07.2026	42	119	996	3	19.07.2026	44	174	1026
9	07.07.2026	46	118	998	3	20.07.2026	42	176	1026

Координаты центров циклонов и антициклонов и давление в их центрах в июле (в срок 00 ВСВ)									
Циклоны					Антициклоны				
Номер	Дата	Широта	Долгота	Давление	Номер	Дата	Широта	Долгота	Давление
9	08.07.2026	48	116	996	3	21.07.2026	41	179	1024
10	02.07.2026	54	120	1000	16	04.07.2026	60	177	1024
10	03.07.2026	52	124	998	16	05.07.2026	59	174	1022
10	04.07.2026	47	128	998	17	04.07.2026	58	145	1016
10	05.07.2026	46	122	996	17	05.07.2026	56	149	1018
11	01.07.2026	34	126	1004	18	08.07.2026	55	154	1016
11	02.07.2026	36	136	1004	18	09.07.2026	50	151	1016
11	03.07.2026	36	149	1004	18	10.07.2026	46	154	1018
11	04.07.2026	39	162	1006	37	19.07.2026	34	144	1010
11	05.07.2026	41	169	1006	37	20.07.2026	33	144	1010
11	06.07.2026	46	178	1010	37	21.07.2026	30	141	1012
12	07.07.2026	34	164	1012	38	20.07.2026	51	127	1008
12	08.07.2026	37	172	1012	38	21.07.2026	52	132	1008
12	09.07.2026	40	174	1008	41	23.07.2026	56	143	1014
13	07.07.2026	31	114	998	41	24.07.2026	54	145	1018
13	08.07.2026	41	125	998	41	25.07.2026	50	145	1018
14	10.07.2026	49	119	998	41	26.07.2026	56	146	1018
14	11.07.2026	54	123	1000	42	26.07.2026	30	127	1012
15	10.07.2026	32	167	1010	42	27.07.2026	31	128	1014
15	11.07.2026	40	177	1014	42	28.07.2026	31	127	1016
24	12.07.2026	48	115	994	46	27.07.2026	44	150	1018
24	13.07.2026	54	120	986	46	28.07.2026	43	149	1016
24	14.07.2026	55	120	986	46	29.07.2026	42	153	1014
25	12.07.2026	40	175	1012	46	30.07.2026	45	160	1014
25	13.07.2026	46	180	1008					
26	13.07.2026	10	136	1004					
26	14.07.2026	13	133	1006					
27	13.07.2026	39	146	1002					
27	14.07.2026	34	148	1006					
27	15.07.2026	30	146	1004					
28	15.07.2026	46	135	992					
28	16.07.2026	48	142	990					
29	15.07.2026	53	121	990					
29	16.07.2026	54	129	988					
29	17.07.2026	58	130	988					
30	16.07.2026	31	154	1004					
30	17.07.2026	33	156	1000					
30	18.07.2026	33	156	1002					
31	18.07.2026	36	161	1002					
31	19.07.2026	36	154	1002					
31	20.07.2026	35	156	1002					
31	21.07.2026	36	159	1004					

Координаты центров циклонов и антициклонов и давление в их центрах в июле (в срок 00 ВСВ)									
Циклоны					Антициклоны				
Номер	Дата	Широта	Долгота	Давление	Номер	Дата	Широта	Долгота	Давление
32	18.07.2026	43	117	1000					
32	19.07.2026	41	121	1002					
33	19.07.2026	48	112	996					
33	20.07.2026	45	113	998					
33	21.07.2026	54	116	1000					
34	19.07.2026	44	139	1000					
34	20.07.2026	46	144	1004					
34	21.07.2026	40	149	1004					
34	22.07.2026	42	159	1000					
34	23.07.2026	49	166	998					
34	24.07.2026	50	160	1002					
34	25.07.2026	46	159	1008					
35	20.07.2026	51	141	1004					
35	21.07.2026	54	151	998					
35	22.07.2026	51	153	998					
35	23.07.2026	47	156	1002					
36	20.07.2026	42	110	998					
36	21.07.2026	48	116	1000					
36	22.07.2026	50	120	1000					
36	23.07.2026	54	123	1000					
39	23.07.2026	38	150	1004					
39	24.07.2026	38	160	1004					
39	25.07.2026	40	164	1004					
39	26.07.2026	48	159	1002					
39	27.07.2026	50	159	1008					
39	28.07.2026	52	162	1010					
39	29.07.2026	55	167	1010					
40	26.07.2026	39	139	1008					
40	27.07.2026	36	143	1010					
43	27.07.2026	36	150	1010					
43	28.07.2026	40	158	1010					
43	29.07.2026	44	163	1008					
43	30.07.2026	49	171	1006					
43	31.07.2026	52	180	1006					
44	27.07.2026	53	115	1004					
44	28.07.2026	53	126	1000					
44	29.07.2026	50	132	1002					
44	30.07.2026	50	130	1004					
47	29.07.2026	46	113	1000					
47	30.07.2026	46	113	992					
47	31.07.2026	47	120	992					
47	01.08.2026	46	129	998					

Координаты центров циклонов и антициклонов и давление в их центрах в июле (в срок 00 ВСВ)									
Циклоны					Антициклоны				
Номер	Дата	Широта	Долгота	Давление	Номер	Дата	Широта	Долгота	Давление
48	29.07.2026	44	136	1000					
48	30.07.2026	42	139	1000					
49	30.07.2026	46	139	1002					
49	31.07.2026	44	141	1002					
50	31.07.2026	57	110	1002					
50	01.08.2026	58	110	1002					

I декада июля 2026 г.

Японское море

1 июля на юго-западную часть Японского моря вышел циклон с давлением в центре 1004 гПа. Двигаясь на восток, северо-восток со скоростью 30 км/ч, не меняя интенсивности, через сутки он перевалил через о. Хонсю и вышел на акваторию Тихого океана.

В дальнейшем погодные условия определялись муссонной циркуляцией, акватория моря находилась в пограничном положении между циклонами, развивающимися над северо-восточным Китаем, и тихоокеанским и охотоморским антициклонами. Преобладали умеренные ветры южной четверти, наблюдались туманы, волнение − до 1,0−1,5 м.

Охотское море

Большую часть декады над морем наблюдалось поле повышенного давления. Ядра образовывались непосредственно над акваторией Охотского моря, оставались малоподвижными или, «подныривая», выходили на северо-западную часть Тихого океана. Так 4 июля над северо-западной частью моря образовался антициклон с давлением в центре 1016 гПа. В течение двух суток он оставался малоподвижным, позже влился в систему тихоокеанского антициклона. В период 6−7 июля основной антициклон располагался над северо-западной частью Тихого океана с давлением в центре 1022 гПа, на Охотское море распространялся его гребень. 8 июля у берегов Камчатки образовалось малоподвижное ядро мощностью 1016 гПа. 10 июля с давлением в центре 1018 гПа оно переместилось на акваторию Тихого океана.

Антициклоническая циркуляция перебивалась слабыми циклонами. В начале декады, 1−2 июля, вдоль Курильских островов медленно двигался циклон с давлением в центре 1010 гПа. В конце суток 2 июля он отошел на восток, утратив влияние на погодные условия Охотского моря. 8 июля в районе центральной части Курильской гряды образовался циклон с давлением в центре 1014 гПа. Без развития медленно двигался на восток, не вызывая усиления ветра и волн, 9 числа отошел на восток.

Берингово море

В начале декады погодные условия обуславливал циклон, который 1 июля вышел на акваторию моря с юга с давлением в центре 1002 гПа. Он двигался в северо-восточном направлении со скоростью 40−50 км/ч. 2 июля, располагаясь над юго-восточной частью моря, заполнился до 1006 гПа. Скорость ветра в зоне действия циклона возрастала до 9−14 м/с, волнение – до 2 м. 3 июля циклон переместился на Аляску.

2 июля с Чукотки на север моря переместился циклон с давлением в центре 1010 гПа. Двигаясь на запад со скоростью 20 км/ч, он вскоре утратил самостоятельную циркуляцию. Усиления ветра и волн в зоне циклона не наблюдалось.

3 июля над большей частью акватории установилось поле повышенного давления. В гребне тихоокеанского антициклона вблизи западной части Алеутской гряды образовалось малоподвижное ядро мощностью 1024 гПа. Оно медленно двигалось на север, северо-восток; разрушилось 6 числа, располагаясь над севером акватории.

6 числа на акваторию моря вышел тихоокеанский циклон с давлением в центре 1008 гПа. Он медленно двигался на северо-восток, углублялся. 8 июля давление в его центре понизилось до 998 гПа, в конце суток через Бристольский залив он покинул акваторию моря. Значительного усиления ветра и волн циклон не вызвал.

8−10 июля над большей частью моря установилось поле высокого давления. Центр антициклона проследовал вблизи восточной части Алеутской гряды.

10 июля на юго-восток акватории вышел развивающийся циклон с давлением в центре 1008 гПа. Он двигался на северо-восток со скоростью 40 км/ч, незначительно углублялся.

Северо-западная часть Тихого океана

1 июля у восточного побережья о. Хонсю образовался циклон с давлением в центре 1010 гПа. Незначительно углубляясь, он двигался на северо-восток со скоростью 30−40 км/ч. Минимальное давление в его центре 1004 гПа отмечалось 3−4 июля, циклон находился на северо-востоке района. Ветер в зоне циклона усиливался до 9−14 м/с, волнение – до 2 м. 5 июля циклон заполнился в районе с координатами 50° с. ш., 180° д.

2 июля с Охотского моря переместился циклон с давлением в центре 1010 гПа. Без развития он двигался медленно, со скоростью 10−20 км/ч, на восток, 6 числа заполнился в районе с координатами 50° с. ш., 171° в. д.

2 числа с Японского моря, перевалив через о. Хонсю, вышел циклон с давлением в центре 1004 гПа. Двигался на восток, северо-восток со скоростью 30−40 км/ч без развития. 6 июля покинул восточное полушарие по 48-й широте с давлением в центре 1010 гПа. Значительного усиления ветра и волн в зоне действия циклона не наблюдалось.

3 июля с южной части Охотского моря скатился антициклон с давлением 1014 гПа. Он медленно двигался на юго-восток, восток, усиливался. 6 июля давление в его центре возросло до 1022 гПа. К концу декады антициклон находился в районе с координатами 43° с. ш., 165° с. ш. с давлением в центре 1020 гПа.

5 июля южнее о. Хонсю на полярном фронте образовался волновой циклон с давлением 1008 гПа. Без развития он двигался на юго-восток, восток со скоростью 20−30 км/ч, не вызывая значительного усиления ветра и волн. Заполнился 7 июля в районе с координатами 31° с. ш., 148° в. д.

6 июля в районе с координатами 34° с. ш., 162° в. д. на полярном фронте образовался молодой циклон с давлением 1010 гПа. Он двигался на северо-восток со скоростью 20 км/ч, слабо меняя интенсивность. 9 числа, углубившись до 1008 гПа и ускоряя движение, по 48-й параллели переместился в западное полушарие. Ветер в зоне действия циклона усиливался до 9−14 м/с, волнение – до 2 м.

8 июля с Охотского моря через Северные Курилы вышел циклон с давлением в центре 1014 гПа. Он двигался на юго-восток со скоростью 20 км/ч, в течение суток заполнился, не вызвав значительного ухудшения погоды.

В конце декады с Охотского моря на северо-западную часть района переместилось ядро с давлением в центре 1020 гПа. Без развития оно двигалось на юго-восток со скоростью 20 км/ч (рис. 1-3).

10 июля в районе с координатами 32° с. ш., 167° в. д. образовался молодой циклон с давлением 1010 гПа. Он двигался на восток со скоростью 20 км/ч, затем повернул на северо-восток, ускорил движение до 50 км/ч. Развития циклона не отмечалось, как и усиления ветра и волн.

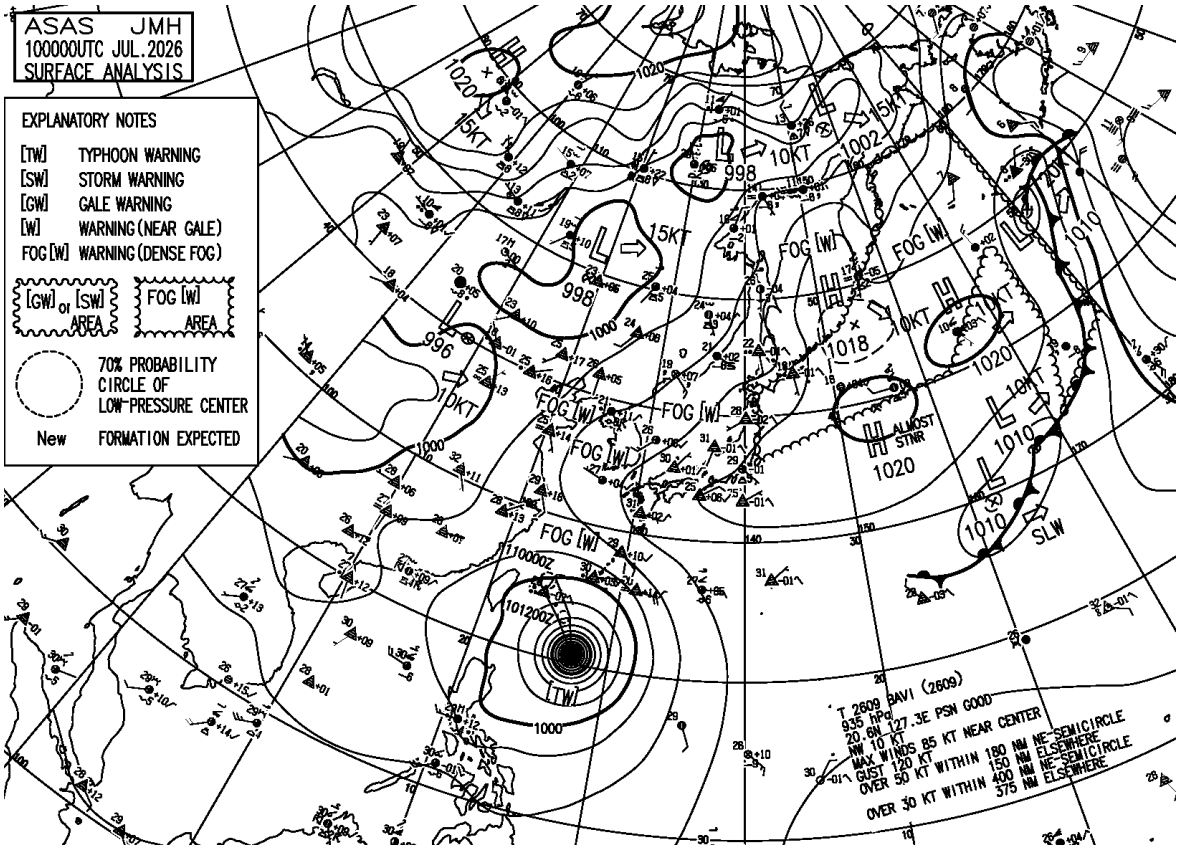


Рис. 1-3 Фрагмент карты приземного анализа за 00 ВСВ 10 июля 2026 г., JMA

II декада июля 2026 г.

Японское море

В начале декады погодные условия определялись малоградиентным полем повышенного давления. 15 июля на юго-запад акватории вышел циклон тропического происхождения, бывший тропический шторм BAVI, с давлением в центре 992 гПа. Он двигался на северо-восток со скоростью 40−50 км/ч, к 18 ВСВ 15 июля, располагаясь над севером моря, углубился до 988 гПа. 16 числа заполнился над Сахалином. Циклон вызвал усиление ветра до 15−20 м/с, волнение до 3 м, которые стихли уже во второй половине дня 16 июля.

18 июля на акваторию моря вышел циклон с давлением в центре 996 гПа, он образовался накануне над Желтым морем на полярном фронте. Циклон двигался на северо-восток со скоростью 20−30 км/ч, без развития. 20 июля переместился в Охотское море с давлением в центре 1004 гПа, в конце суток заполнился.

Охотское море

В течение второй декады погодные условия определялись преимущественно муссонной циркуляцией. Над Хабаровским краем наблюдалась циклоническая деятельность, ей противостоял тихоокеанский антициклон. Гребень антициклона распространялся на восточную часть Охотского моря. Усиление ветра наблюдалось лишь 15−16 июля, когда обострился циклогенез над смежными

прибрежными районами и барическое напряжение возросло. Ветры южных румбов усилились до 15−18 м/с, волнение развивалось до 3 м.

Муссонная циркуляция нарушилась лишь в конце декады, 20 июля, когда на акваторию моря вышли слабые, медленно движущиеся циклоны.

Берингово море

В течение декады над Беринговым морем преобладала циклоническая циркуляция.

Циклон, который вышел на юго-восточную часть Берингова моря в конце первой декады, продолжал двигаться на северо-восток со скоростью 40 км/ч, углублялся. 12 июля находился над Беринговым проливом с давлением в центре 994 гПа. В дальнейшем оставался малоподвижным, заполнялся. На картах погоды прослеживался до 15 числа. Ветер в зоне действия циклона не превышал 9−14 м/с, волнение развивалось до 2−3 м.

11 числа с материка на северо-западную часть моря вышел циклон с давлением в центре 1004 гПа. Он двигался на юго-восток, восток со скоростью 50−60 км/ч, углубился до 1000 гПа. Скорость ветра в зоне циклона не превышала 8−13 м/с, волнение − до 2 м. 12 числа циклон влился в систему депрессии, развивающуюся над Беринговым проливом.

12 июля над северо-западной частью моря образовался циклон с давлением 1006 гПа. Двигаясь на юго-восток, восток со скоростью 30−40 км/ч без развития, обуславливал усиление ветра до 10−15 м/с, волнение до 3 м. 13 числа он заполнился над центральной частью моря вблизи 180-го меридиана.

12 июля у юго-восточного побережья Камчатки образовался ещё один циклон с давлением в центре 1010 гПа. Он двигался на юго-восток со скоростью 20−30 км/ч без развития, не вызывая усиления ветра и волн; заполнился 13 числа над западной частью Алеутской гряды.

14 июля на юго-восточную часть моря вышел тихоокеанский циклон с давлением в центре 1002 гПа. Двигаясь на северо-восток со скоростью 40 км/ч, он углублялся. 15 числа переместился на Аляску с давлением 1000 гПа. Минимальное давление в его центре − 998 гПа. Над Беринговым морем значительного усиления ветра и волн не отмечалось.

14 июля с территории Камчатки к Алеутским островам вышел циклон с давлением в центре 1008 гПа. Двигался вдоль гряды на восток со скоростью 40−50 км/ч без развития, не вызывая существенного ухудшения погодных условий. 16 июля с давлением в центре 1012 гПа переместился на Аляску.

17 июля с Чукотки на северо-западную часть моря переместился циклон с давлением в центре 1006 гПа. Двигался на юго-восток, восток со скоростью 30 км/ч. 18 числа, находясь над юго-восточной частью акватории, углубился до 996 гПа. Ветер на юго-востоке моря усиливался до 15−18 м/с, волнение развивалось до 3−4 м. В дальнейшем циклон заполнялся, перестал прослеживаться на картах 20 числа.

20 июля над северо-западной частью моря образовался циклон с давлением в центре 1002 гПа. Двигался на юго-восток, восток со скоростью 30−40 км/ч, незначительно углублялся. В конце суток находился над центральной частью моря с давлением в центре 998 гПа, обуславливая ветер до 10−15 м/с, волнение до 2 м.

Северо-западная часть Тихого океана

Малоподвижный антициклон, установившийся над акваторией северо-западной части Тихого океана в первой декаде месяца, 11 июля находился в районе с координатами 44° с. ш., 170° в. д. с давлением в центре 1022 гПа. К 17 июля антициклон усилился до 1030 гПа, его влияние было доминирующим над большей частью района. Позже начал разрушаться. К концу декады он располагался в районе с координатами 42° с. ш., 176° в. д. с давлением в центре 1026 гПа.

Циклон, который образовался в конце первой декады в районе с координатами 32° с. ш., 167° в. д., 11 июля продолжал двигаться на северо-восток со скоростью 50 км/ч, пересёк 180-й меридиан по 44° северной широты с давлением в центре 1014 гПа. Скорость ветра в зоне циклона не превышала 8−13 м/с, высота волн − не более 2 м.

12 июля на востоке Сангарского пролива образовался циклон с давлением в центре 1004 гПа. Без развития двигался медленно на северо-восток. Заполнился 14 июля вблизи восточного побережья о. Хоккайдо. В восточном секторе циклона, граничащем с антициклоном, наблюдалось усиление ветра до 10−15 м, волнение до 3−4 м.

14 июля в районе с координатами 33° с. ш., 148° в. д. образовался циклон с давлением в центре 1006 гПа. Он медленно двигался на юго-восток без развития. 16 июля переместился в тропическую часть океана южнее 30-й параллели.

16 июля в районе с координатами 31° с. ш., 154° в. д. образовался циклон с давлением в центре 1004 гПа. Он двигался на северо-восток, север медленно (его движение блокировалось тихоокеанским антициклоном). 18 июля к северо-востоку от него в районе с координатами 35° с. ш., 162° в. д. образовался ещё один неглубокий циклон с давлением в центре 1004 гПа. Циклоны вращались друг относительно друга, объединились в один вихрь с давлением 1000 гПа. Максимальная скорость ветра отмечалась в северном секторе циклонической системы, составляла 10−15 м/с, волнение развивалось до 3−4 м.

19 июля вблизи юго-восточного побережья о. Хонсю образовалось малоподвижное ядро с давлением в центре 1010 гПа. Не меняя интенсивности, оставалось стационарным до конца декады.

III декада июля 2026 г.

Японское море

В течение декады погодные условия в Японском море определялись полем пониженного атмосферного давления; над южной частью акватории располагался полярный фронт, на котором часто развивались волновые циклоны. Так, 27 июля на западе акватории в районе 40-й параллели образовался циклон с давлением 1010 гПа. Углубляясь, он двигался на восток со скоростью 20−30 км/ч, 29 июля перевалил через о. Хонсю в Тихий океан с давлением в центре 1002 гПа.

Ветер преимущественно не превышал 5−10 м/с, волнение – в пределах 0,5−1,5 м.

Охотское море

Западный циклон, который 20 июля переместился на акваторию моря с Хабаровского края, 21 июля располагался над центральной частью моря с давлением в центре 998 гПа. Двигаясь медленно на восток, юго-восток, углубился до 996 гПа, 22 июля через северную часть Курильской гряды переместился в Тихий океан с давлением в центре 1000 гПа. Значительного усиления ветра и волн не наблюдалось (волнение развивалось до 2 м).

22 июля над северо-западной частью моря образовался малоподвижный антициклон с давлением в центре 1012 гПа. Он разрушился 26 числа. Максимальное давление в его центре отмечалось 24−26 июля и составляло 1018 гПа.

30 июля у западного побережья Камчатки образовался малоподвижный антициклон с давлением 1012 гПа. Незначительно разрушившись (до 1010 гПа), оставался основным синоптическим объектом, обуславливающим погодные условия над Охотским морем.

Берингово море

21 июля циклон с давлением 998 гПа, образовавшийся в конце второй декады над северо-западной частью моря, переместился в восточную часть Берингова моря, 22 июля вышел на Аляску с давлением в центре 1006 гПа. Ветер в зоне циклона не превышал 10−15 м/с, волнение − до 2 м.

21 июля на юго-западную часть акватории переместился циклон с давлением в центре 998 гПа. Двигаясь преимущественно на восток, северо-восток со скоростью 30−40 км/ч, углублялся, 23 числа был у восточного побережья моря с давлением в центре 990 гПа. Скорость ветра в зоне развивающегося циклона достигала 15−18 м/с, волнение – до 2−3 м.

22 июля над северо-западной частью моря образовалось ядро мощностью 1012 гПа. Усиливаясь, оно оставалось над северо-западной частью моря до 23 июля, позже вошло в систему тихоокеанского антициклона. Гребень тихоокеанского антициклона обуславливал погодные условия большей части акватории вплоть до 30 июля. 27 июля его пополнил антициклон с давлением в центре 1024 гПа, который скатился на север моря с Чукотки. Разрушаясь, последний перемещался на юго-восток со скоростью 20−30 км/ч, 30 числа скатился на акваторию северо-восточной части Тихого океана.

26−27 июля над севером акватории со скоростью 40 км/ч проследовал циклон с давлением в центре 1010−1016 гПа. Он перемещался с Чукотки через север Берингова моря на Аляску. Значительного усиления ветра и волн не наблюдалось.

31 июля с акватории Тихого океана на юг Берингова моря вышел циклон с давлением в центре 1006 гПа. Двигался на северо-восток со скоростью 20−30 км/ч без развития. Значительного усиления ветра и волн он также не вызвал.

Северо-западная часть Тихого океана

В начале декады в районе с координатами 36° с. ш., 158° в. д. располагался циклон с давлением в центре 1004 гПа, он образовался ещё 16 июля на юге района. 21 июля он начал двигаться на северо-восток со скоростью 30−40 км/ч, 22 числа углубился до 998 гПа; 23 июля за счет взаимодействия с депрессией, которая вышла с Охотского моря, начал поворачивать на северо-восток. До 25 июля циклон прослеживался на картах погоды южнее Камчатки в заполненном состоянии. 25 июля потерял самостоятельную циркуляцию, попав в тыл фронтального развивающегося циклона. Сильный ветер отмечался только в северо-восточном, северном секторе циклона, где скорость ветра достигала 10−15 м/с, волнение развивалось до 3 м.

22 июля с Охотского моря на акваторию Тихого океана переместилась уже упомянутая депрессия с давлением в центре 998 гПа, заполняясь, двигалась медленно на восток, юго-восток. В конце суток 23 июля потеряла самостоятельную циркуляцию в районе с координатами 45° с. ш., 159° в. д. Высота волн в районе действия циклона развивалась до 2 м, скорость ветра не превышала 8−13 м/с.

23 июля в районе с координатами 38° с. ш., 150° в. д. образовался циклон с давлением в центре 1004 гПа. Он двигался на восток со скоростью 30−40 км/ч, незначительно меняя интенсивность. 25 числа изменил траекторию перемещения, начал двигаться на северо-восток, затем – на северо-запад, углубился до 1002 гПа. В восточном секторе циклона, на границе с антициклоном, ветры усилились до 10−15 м/с, волнение развивалось до 2−3 м. 26 числа циклон находился вблизи юго-восточного побережья Камчатки, начал заполняться. В дальнейшем двигался медленно на северо-восток. С давлением в центре 1008−1010 гПа прослеживался на картах погоды вблизи юго-восточного побережья Камчатки вплоть до 29 июля, уже не вызывая значительного усиления ветра, но волнение сохранялось в пределах 2−3 м.

26 июля в районе Южных Курил образовался антициклон с давлением в центре 1016 гПа. Он медленно двигался на восток, юго-восток. 27 июля усилился до 1018 гПа. 30 июля он ещё прослеживался на картах погоды в районе с координатами 45° с. ш., 160° в. д. с давлением в центре 1014 гПа, вскоре вошел в систему циркуляции тихоокеанского максимума.

27 июля в районе с координатами 36° с. ш., 151° в. д. образовался молодой циклон с давлением в центре 1010 гПа. Незначительно углубляясь, двигался на восток, северо-восток со скоростью 30−40 км/ч, 31 июля вышел на юг Берингова моря с давлением в центре 1006 гПа. Значительного усиления ветра и волн в зоне циклона не наблюдалось.

29 июля на акваторию Тихого океана с Японского моря вышел циклон с давлением в центре 1002 гПа. В системе полярного фронта он двигался на северо-восток со скоростью 20−30 км/ч, углубился до 998 гПа. Ветер в зоне действия циклона усиливался до 10−15 м/с, волнение – до 2 м. В конце декады (в 12 ВСВ 31 июля) циклон ещё находился на акватории района в координатах 48° с. ш., 159° в. д. с давлением в центре 1000 гПа. К юго-западу от него начал развиваться следующий фронтальный циклон с давлением в центре 1000−1002 гПа.

1.2 Анализ термобарических полей

Карты термобарических полей месячного разрешения над районом обзора построены на основе данных реанализа ERA5, приведены ниже на рис. 1-4−1-6. Для анализа использованы средние за месяц карты барической топографии для стандартного изобарического уровня 500 гПа (средняя тропосфера), давления на уровне моря и температуры воздуха на стандартном изобарическом уровне 850 гПа (нижний слой тропосферы). Аномалии рассчитаны относительно средних многолетних значений за период 1991−2020 гг.

Таким образом, с марта 2026 г. в рамках данного проекта анализ термобарических полей выполняется на основе реанализа ERA, созданного ECMWF (взамен реанализа NCEP/NCAR); аномалии вычисляются относительно многолетнего периода 1991−2020 гг. (на предыдущем этапе использовался период 1981−2010 гг.)

Региональный обзор

В июле зональное распределение высотного термобарического поля над регионом нарушалось чередой ложбин и гребней, следующих друг за другом в системе полярной фронтальной зоны. В умеренных широтах и прилегающих полярных меридиональность атмосферных процессов была относительно высокой (относительно климатической). Над побережьем Дальнего Востока сформировался высотный гребень, что характерно для середины лета. Его обрамляли ложбины над Восточной Азией и северо-западной частью Тихого океана. Более мощный гребень, поддержанный большим запасом тропосферного тепла (с обширным очагом положительных аномалий геопотенциальных высот H_{500}, достигающих +9 дам), сформировался над северо-восточной частью Тихого океана. Высотная фронтальная зона умеренных широт была относительно напряженной. Большая часть региона, особенно материк, в течение месяца находились в условиях относительно теплой атмосферы – доминировали положительные аномалии геопотенциальных высот H_{500}. Холодный воздух был сосредоточен над Чукоткой, Аляской и прилегающими акваториями, здесь сформировались отрицательные аномалии геопотенциальных высот H_{500} до -4 дам (рис. 1-4).

У земной поверхности над материком в соответствии с сезоном окончательно установилось поле пониженного давления, основные депрессии занимали климатическое положение, фон атмосферного давления близок к норме. Над Тихим океаном наблюдалось почти неограниченное господство циркуляционной системы тихоокеанского максимума. Он был смещен к северо-западу относительно среднего многолетнего положения и мощнее нормы на 4−5 гПа. Хорошо были развиты его гребни, ориентированные на Охотское море и западную часть Берингова моря. При этом восточный тропический гребень тихоокеанского антициклона был слабым, в зоне его традиционного положения наблюдались отрицательные аномалии атмосферного давления до -2…-3 гПа (рис. 1-5). Положение алеутской депрессии совершенно не прослеживается на средней месячной карте (была развита слабо).

Японское море

В средней тропосфере над Японским морем сформировался барический гребень, со слабым наклоном изогипс с юго-запада, запада на северо-восток, восток. Воздушная масса, преобладавшая над морем в течение месяца, была относительно теплой − аномалии геопотенциальных высот поверхности H_{500} положительные до +4 дам.

У земной поверхности над морем наблюдалось малоградиентное поле пониженного атмосферного давления. В среднем за месяц фон давления близок к норме.

Температура воздуха на уровне H_{850} (нижняя тропосфера) над морем распределена от +20 °С на юге до +14 °С на севере. Это состояние выше нормы примерно на 1−2 °С. За месяц температура воздуха над морем повысилась на 5−6 °С.

Охотское море

В средней тропосфере над Охотским морем установился барический гребень. Воздушная масса над морем была теплой (аномалии геопотенциальных высот достигали +2…+5 дам).

У земной поверхности над морем сохранялось поле высокого давления. Его фон незначительно превышал норму (выше нормы на 1−2 гПа).

В нижнем слое тропосферы (на уровне поверхности H_{850}) температура воздуха над морем была распределена от +14 °С на юго-западе до +10 °С на северо-востоке. Такое состояние превышает норму на 1−3 °С, лишь вблизи Курильской гряды фон температур близок к норме. За месяц температура воздуха над морем повысились на 4−6 °С.

Берингово море

В средней тропосфере над северной половиной моря устойчиво располагалась обширная барическая ложбина, ей соответствовала зона холода с отрицательными аномалиями геопотенциальных высот поверхности H_{500} до -4 дам. Над югом, юго-западом акватории, обрамляя ложбину, столь же устойчиво наблюдался западно-восточный перенос воздуха. Над этими районами аномалии геопотенциальных высот переходят в положительные, от +5 до +7 дам, − воздушная масса теплая.

У поверхности земли над большей частью акватории сохранилось доминирование поля высокого атмосферного давления; фон атмосферного давления выше нормы на 1−4 гПа. Только акватории вблизи Аляски находились под влиянием циклонической циркуляции, давление здесь незначительно ниже нормы (аномалии атмосферного давления около -1 гПа).

Температура воздуха в нижнем слое тропосферы на уровне H_{850} над акваторией Берингова моря находилась в пределах от +4 °С над севером моря до +8…+9 °С над его юго-западной частью. Это состояние для северной части моря ниже нормы примерно на 1 °С, для юго-западной − выше нормы на 1−2 °С. За месяц температура воздуха повысилась на 3−5 °С только над юго-западной частью акватории, над севером моря стало холоднее на 1−2 °С.

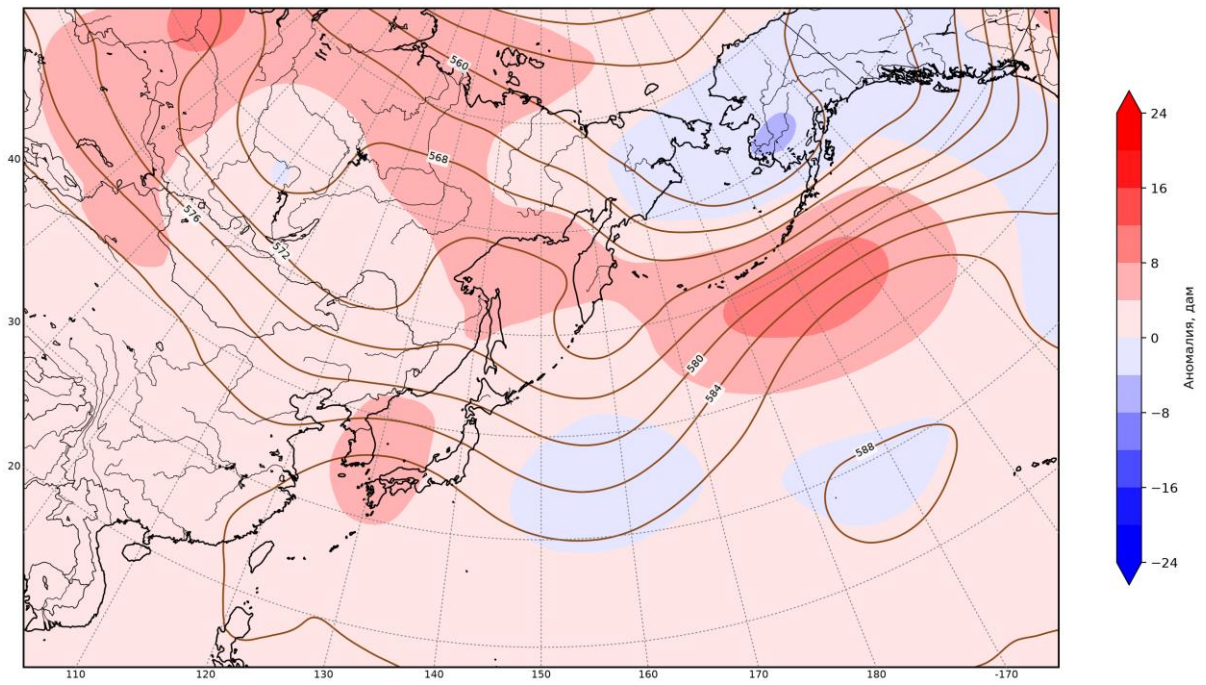


Рис. 1-4 Среднее поле H_{500} (изогипсы) и его аномалии (изополосы) в июле 2026 г. (дам)

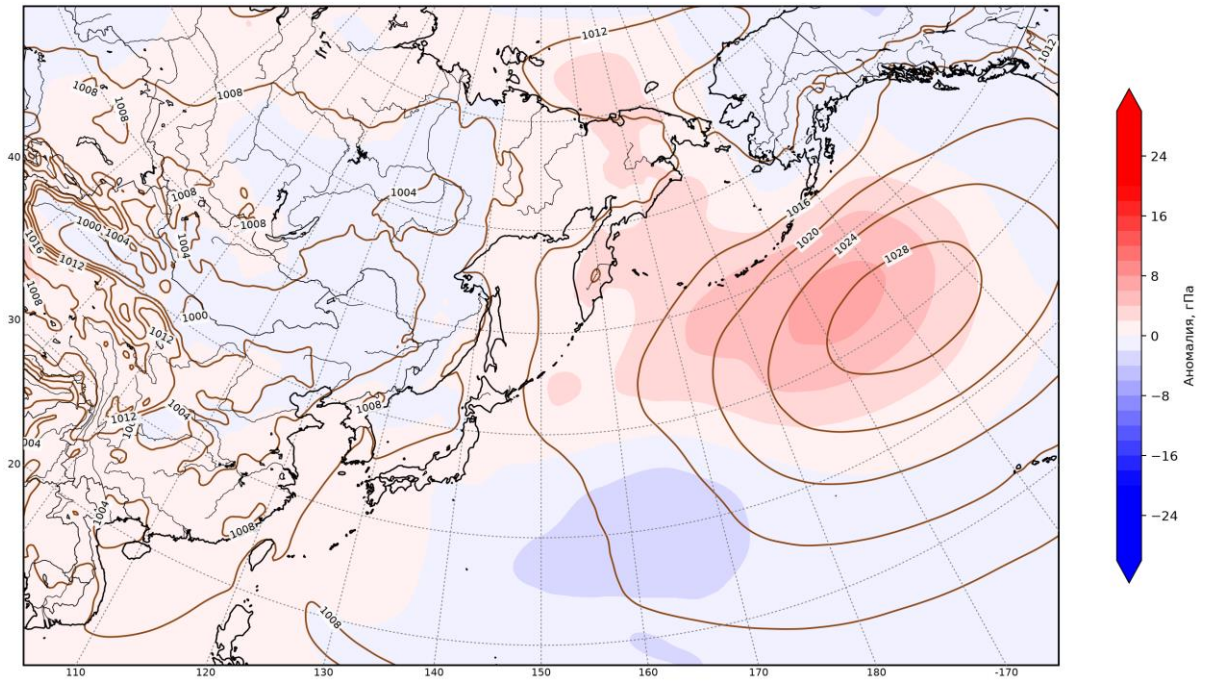


Рис. 1-5 Среднее поле атмосферного давления у поверхности земли (изобары) и его аномалии (изополосы) в июле 2026 г. (гПа)

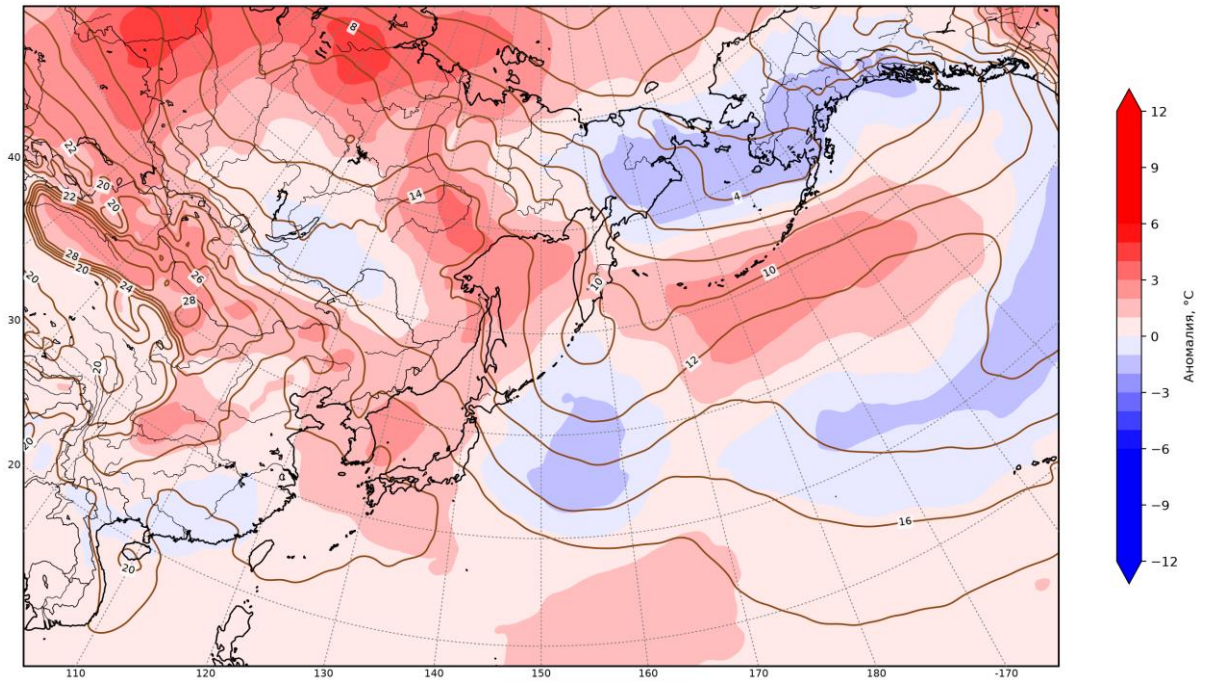


Рис. 1-6 Среднее поле T_{850} (изотермы) и его аномалии (изополосы) в июле 2026 г. (°C)

1.3 Региональные индексы циркуляции атмосферы

1.3.1 Зональный и меридиональный перенос воздуха над II е. с. р.

Характеристика основных воздушных течений в средней и нижней тропосфере за июль 2026 г. выполнена на основе индексов атмосферной циркуляции, приведенных ниже в таблице и на рис. 1-7−1-9. В данном разделе для характеристики индексов принята следующая терминология: норма – ±0,3STD относительно нормы; незначительное отклонение от нормы – ±(0,4–0,7)STD; значительное отклонение от нормы – ≥2,0STD. Аномалии рассчитаны относительно средних многолетних значений (нормы) за период 1991−2020 гг.

С марта 2026 г. индексы рассчитываются на основе реанализа ERA, созданного ECMWF (взамен реанализа NCEP/NCAR), и нормы 1991−2020 гг.

Японское море

В июле во всем слое тропосферы над Японским морем сохранялся западно-восточный перенос воздуха (значения зональных индексов положительные). Их интенсивность незначительно превышала климатическую (Kz равен 0,4STD и 0,6STD соответственно в среднем слое и у поверхности земли).

Интенсивность межширотного обмена и многолетний баланс между меридиональными составляющими в средней тропосфере над Японским морем были близки к норме (|Km| равен -0,1STD, Km равен -0,2STD). У поверхности земли интенсивность межширотного обмена превышала климатическую (|Km| равен 1,8STD), но многолетний баланс между меридиональными составляющими остался близким к норме (Km равен 0,0STD). Во всем слое тропосферы движения воздуха с юга были преобладающими (значения меридиональных индексов положительные).

Охотское море

В течение месяца во всем слое тропосферы над Охотским морем преобладал западно-восточный перенос воздуха (значения зональных индексов положительные); его интенсивность была слабой в средней тропосфере и близкой к норме у поверхности земли (Kz равен -1,0STD и -0,2STD соответственно).

Межширотный обмен в средней тропосфере над Охотским морем был незначительно слабее обычного, многолетний баланс между меридиональными составляющими близок к норме (|Km| равен -0,4STD, Km − -0,1STD); сохранилось доминирование движений воздуха с севера (значение меридионального индекса отрицательное). У поверхности земли межширотный обмен превышал норму, что определялось усилением южной компоненты обмена (|Km| равен 0,9STD, Km − 1,1STD); в среднем за месяц движения с юга преобладали (значение индекса положительное).

Берингово море

Над Беринговым морем во всем слое тропосферы доминировал западно-восточный перенос воздуха (значения зональных индексов положительные). Его интенсивность превышала норму, в средней тропосфере − значительно (Kz равен 2,2STD и 1,5STD соответственно в средней тропосфере и у поверхности земли).

Межширотный обмен во всем слое тропосферы над Беринговым морем был незначительно слабее нормы (|Km| равен -0,5STD и -0,7STD в средней тропосфере и у поверхности земли соответственно). Многолетний баланс между меридиональными составляющими был незначительно нарушен в пользу северной компоненты обмена (Km равен -0,6STD и -0,5STD соответственно). В среднем слое незначительно преобладали движения воздуха с севера (значение

меридионального индекса отрицательное), у поверхности земли – с юга (значение индекса положительное).

Индексы циркуляции атмосферы и их аномалии по II е. с. р.

Индекс*	Уровень (высота)	Май			Июнь			Июль		
		значение	ASTD**	STD**	значение	ASTD**	STD**	значение	ASTD**	STD**
Kz Ям	500 гПа	16464	0.2	3767	10105	0.1	2937	10830	0.4	2846
Kz Ом		10823	1.2	2753	1985	-1.0	2767	3428	-1.0	2583
Kz Бм		5740	0.1	3221	-1595	-1.5	3468	12718	2.2	3004
Kz 35_50		20366	1.1	2398	13290	-0.1	1200	8798	-1.5	1501
Kz 50_70		5732	0.0	1597	2071	-2.3	1164	5255	0.4	1585
Kz 35_70		11994	1.3	818	6930	-2.5	635	6762	-0.9	734
Km Ям		-1915	-0.5	1610	379	0.4	1424	357	-0.2	1094
Km Ом		-846	0.0	1926	-2521	-0.5	1527	-1440	-0.1	1407
Km Бм		-667	-0.2	1436	-210	0.4	1232	-650	-0.6	776
Km 35_50		-761	0.3	459	-525	-0.4	398	661	1.7	183
Km 50_70		-799	-1.1	377	-941	-1.4	371	-439	-0.7	239
Km 35_70		-777	-0.6	270	-761	-1.2	306	31	0.2	169
|Km| Ям		2670	-0.1	1324	940	-1.1	1028	1758	-0.1	920
|Km| Ом		1908	-0.9	1570	3985	0.2	1844	2463	-0.4	1528
|Km| Бм		3251	-0.2	1639	2610	-0.7	1412	2474	-0.5	1295
|Km| 35_50		2128	-2.1	655	3832	1.8	531	3164	1.2	686
|Km| 50_70		2682	-0.7	718	2677	-0.9	792	2501	-0.4	614
|Km| 35_70		2440	-1.6	559	3165	0.0	588	2786	0.4	558
Kz Ям	1000 гПа	4187	0.1	1288	535	-1.4	1120	2946	0.6	1305
Kz Ом		2095	1.6	1032	-591	-1.7	952	866	-0.2	1309
Kz Бм		221	0.0	1585	-1720	-1.6	1454	3991	1.5	1504
Kz 35_50		5206	1.3	1234	723	-1.4	1060	1452	-1.0	851
Kz 50_70		-443	0.7	869	-752	-0.7	679	209	0.7	623
Kz 35_70		1982	2.0	541	-97	-1.6	554	744	-0.2	501
Km Ям		386	-1.3	593	1812	-0.8	607	2519	0.0	552
Km Ом		486	-0.4	801	633	-0.6	553	1867	1.1	565
Km Бм		-125	0.2	724	19	-0.2	764	707	-0.5	319
Km 35_50		573	0.1	239	977	-0.3	266	2035	2.7	203
Km 50_70		-337	-0.8	229	152	-0.2	195	437	0.1	129
Km 35_70		56	-0.6	178	506	-0.3	194	1122	2.0	122
|Km| Ям		2390	-0.7	566	3604	-0.7	605	6335	1.8	570
|Km| Ом		1797	-0.9	695	2738	0.0	735	3575	0.9	734
|Km| Бм		2607	0.2	986	2174	0.2	924	1679	-0.7	570
|Km| 35_50		3402	-0.3	274	4744	0.4	397	6729	3.4	341
|Km| 50_70		2711	-0.4	395	2571	-1.0	222	3231	1.3	203
|Km| 35_70		3014	-0.4	288	3502	-0.2	251	4732	3.3	196

* Описание индексов приведено в разделе «Терминология».

** Климатические характеристики (STD, ASTD) рассчитаны относительно норм 1981–2010 гг.

Умеренные широты между 35° и 50° с. ш. над II е. с. р.

В зоне умеренных широт между 35° и 50° с. ш. над II е. с. р. западно-восточный перенос во всем слое тропосферы оставался преобладающим (зональные индексы положительные), но его интенсивность была слабой (Kz равен -1,5STD и -1,0STD соответственно в средней тропосфере и у поверхности земли).

Межширотный обмен во всем слое тропосферы над указанной широтной зоной превышал норму, в нижнем слое – значительно (|Km| равен 1,2STD и 3,4STD соответственно в средней тропосфере и у поверхности земли), что определялось усилением южной компоненты обмена (Km равен 1,7STD и 2,7STD соответственно). В среднем за месяц сформировалось преобладание движений воздуха с юга (значения меридиональных индексов положительные).

Широтная зона 50–70° с. ш. над II е. с. р.

Во всем слое тропосферы над широтной зоной 50–70° с. ш. II е. с. р. западно-восточный перенос воздуха оставался преобладающим (значения зональных индексов положительные); его интенсивность незначительно превышала норму (Kz равен 0,4STD и 0,7STD соответственно в средней тропосфере и у поверхности земли).

Межширотный обмен в средней тропосфере над указанной широтной зоной был незначительно слабее обычного, многолетний баланс между меридиональными составляющими нарушен в пользу северной составляющей (|Km| равен -0,4STD, Km − -0,7STD); незначительно преобладали движения воздуха с севера (значение меридионального индекса отрицательное). У поверхности земли межширотный обмен превышал норму, но многолетний баланс между меридиональными составляющими остался близким к норме (|Km| равен 1,3STD, Km − 0,1STD); в среднем за месяц сохранилось слабое преобладание движений воздуха с юга (значение индекса положительное).

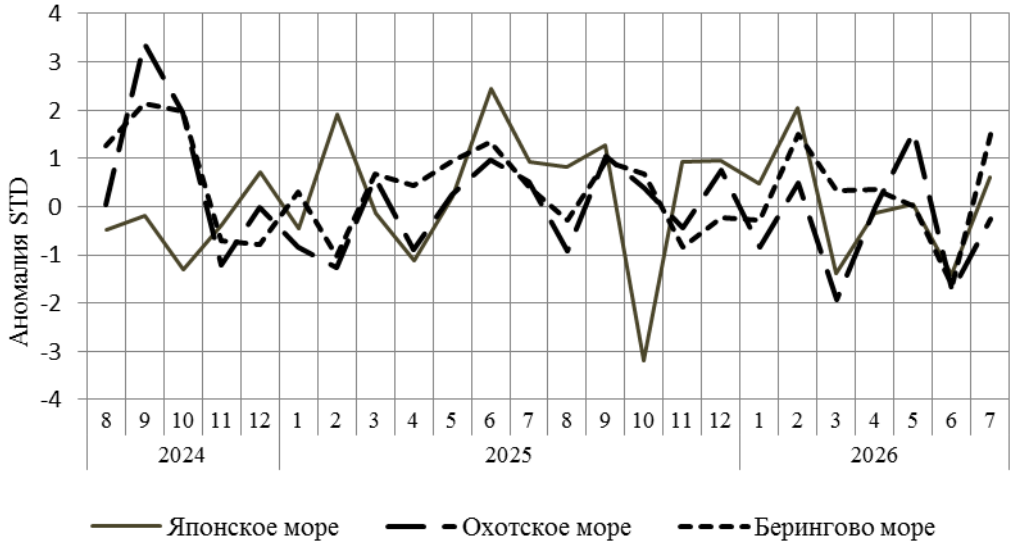


Рис. 1-7 Годовой ход стандартизованных аномалий индекса интегрального зонального переноса воздуха с учетом знака (Kz) в нижней тропосфере над дальневосточными морями

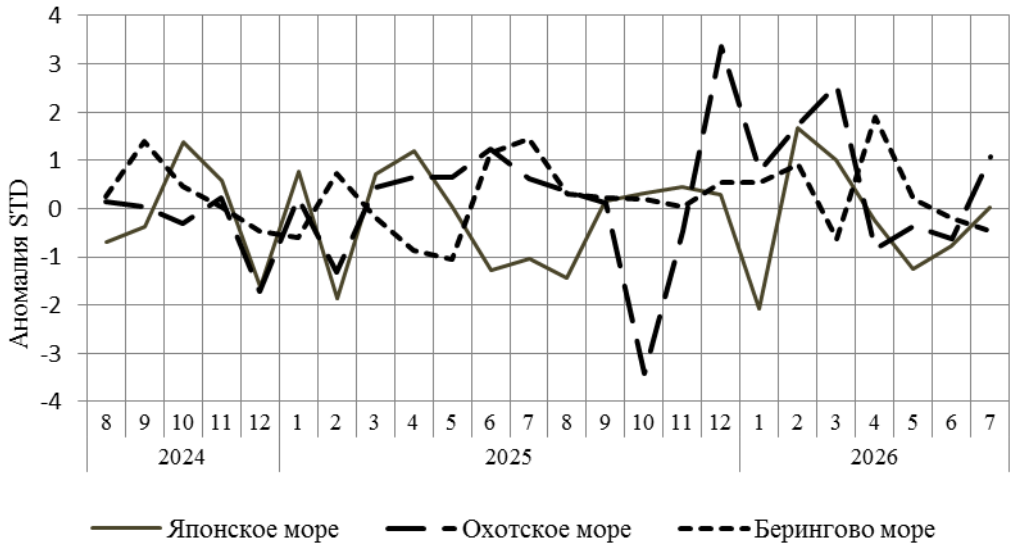


Рис. 1-8 Годовой ход стандартизованных аномалий индекса интегрального меридионального переноса воздуха с учетом знака (Km) в нижней тропосфере над дальневосточными морями

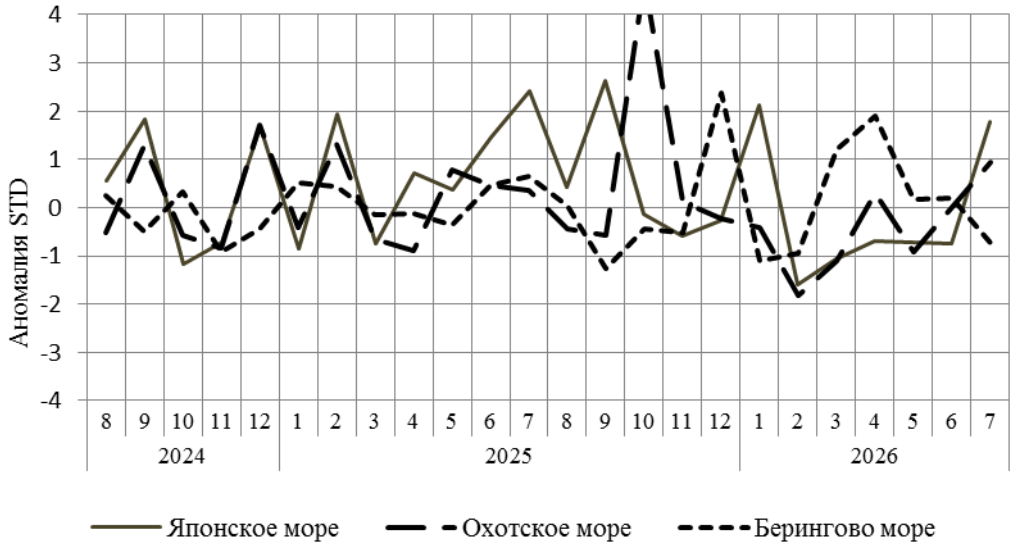


Рис. 1-9 Годовой ход стандартизованных аномалий индекса интегрального меридионального переноса воздуха без учета знака (|Km|) в нижней тропосфере над дальневосточными морями

1.3.2 Индекс засушливости Педя S для станций Приморского и Хабаровского краёв[1]

Приморский край	Апрель	Май	Июнь	Июль
Анучино	-0.1	3.4	0.4	-3.3
Астраханка	-1.6	4.6	0.6	-1.0
Богополь	0.3	3.0	0.5	1.2
Владивосток	1.7	3.6	2.1	1.3
Дальнереченск	-2.7	2.5	0.2	1.8
Пограничный	-0.9	3.8	0.2	1.2
Посьет	2.6	3.2	0.4	-0.1
Преображение	1.7	1.0	1.5	1.8
Рощино	-1.0	2.5	1.5	0.7
Рудная Пристань	1.2	2.2	0.7	2.1
Сосуново	0.2	1.0	1.1	2.2
Терней	0.7	2.3	0.8	2.6
Тимирязевский	-0.9	4.4	1.0	0.7
Турий Рог	-0.5	2.6	1.0	3.2
Хабаровский край	**Апрель**	**Май**	**Июнь**	**Июль**
Аян	0.2	2.7	-1.0	-1.5
Гвасюги	-1.3	1.5	0.1	2.7
Екатерино-Никольское	-0.8	2.9	-1.5	0.3
Им. Полины Осипенко	-0.9	3.2	-1.8	0.7
Комсомольск-на-Амуре	0.2	1.1	-0.4	1.1
Нелькан	1.5	-0.2	0.2	3.2
Николаевск-на-Амуре	0.1	0.2	-0.8	1.8
Охотск	1.3	1.7	1.0	-0.9
Сковородино	-2.4	-0.6	0.4	1.3
Софийский Прииск	0.7	1.6	-0.7	0.0
Сутур	0.7	1.8	-1.6	1.3
Тумнин	0.4	0.4	-0.6	2.0
Урми	1.6	2.5	-0.2	0.3
Усть-Нюкжа	0.1	0.0	-0.1	1.6
Хабаровск_	-0.4	2.1	0.3	0.6
Хуларин	0.2	2.3	-3.8	1.5
Чекунда	0.6	1.6	-1.1	2.0
Чумикан	1.2	3.0	-2.1	-0.1

Положительные значения индекса соответствуют засушливым условиям, отрицательные – условиям достаточного (избыточного) увлажнения при пониженном фоне температур. Для месячных значений S принято считать, что

- если 1<S<2, то засуха слабая, если -1>S>-2, то увлажнение слабое;

- если 2<S<3, то засуха умеренная, если -2>S>-3, то увлажнение умеренное;

- если S>3, то засуха сильная, если S<-3, то увлажнение сильное.

[1] См. раздел «Терминология бюллетеня».